ФИЗИКА ЭЛЕМЕНТАРНЫХ ЧАСТИЦ И АТОМНОГО ЯДРА. ТЕОРИЯ

ДИАГРАММЫ ЗИГЗАГ-ТИПА И КОНФОРМНЫЕ ТРЕУГОЛЬНИКИ

 $C. \, \mathcal{I}. \, \mathcal{I}$ еркачев $^{a}, \, A. \, \Pi. \, \mathcal{U}$ саев $^{a, \, 6}, \, \mathcal{I}. \, A. \, \mathcal{U}$ умилов a

 a Санкт-Петербургское отделение Математического института им. В. А. Стеклова РАН, Санкт-Петербург, Россия

6 Объединенный институт ядерных исследований, Дубна

В работе получено удобное представление для серии двухточечных и четырехточечных диаграмм, связанных с D-мерной квантовой теорией поля типа «fishnet». Данное представление позволяет получить точное выражение для диаграмм зигзаг-серии в теории поля ϕ^4 , что приводит к сравнительно простому доказательству зигзаг-гипотезы, сформулированной Д. Бродхарстом и Д. Краймером.

We obtain a convenient representation for a series of two-point and four-point diagrams related to the D-dimensional fishnet field theory. This representation allows one to obtain an exact expression for the zig-zag series diagrams in the ϕ^4 field theory, which leads to a relatively simple proof of the zig-zag conjecture formulated by D. Broadhurst and D. Kreimer.

PACS: 02.90.+p

ВВЕДЕНИЕ

Четырехмерные теории поля с взаимодействием типа ϕ^4 представляют собой неотъемлемую часть Стандартной модели взаимодействия элементарных частиц. Важнейшей задачей является вычисление β -функции для таких теорий. Известно, что значительную (почти половину) часть вклада в β -функцию вносят диаграммы так называемой зигзаг-серии: M-петлевая диаграмма зигзаг-серии дает вклад в (M+1)-петлевой порядок β -функции. Ответ для двухточечной M-петлевой зигзаг-диаграммы имеет следующий вид:

$$G_2^{(M)}(x,y) = \frac{\pi^{2M}}{(x-y)^2} Z(M+1),$$
 (1)

где $x,\ y\in\mathbb{R}^4$. Нормировочная константа π^{2M} выделена для удобства, а Z(M+1) — константа, непосредственно входящая в выражение для β -функции. Константа Z(M+1) дается формулой

$$Z(M+1) = 4C_M \sum_{p=1}^{\infty} \frac{(-1)^{(p-1)(M+1)}}{p^{2(M+1)-3}} = \begin{cases} 4C_M \zeta_{2M-1} & \text{для } M = 2N+1, \\ 4C_M (1-2^{2(1-M)})\zeta_{2M-1} & \text{для } M = 2N, \end{cases}$$

где $C_M=(1/(M+1))\binom{2M}{M}$ — число Каталана. Это выражение было предложено Д. Бродхарстом и Д. Краймером в качестве гипотезы [1] (зигзаг-гипотезы), а затем

доказано в работе [2]. Точной формулировке зигзаг-гипотезы предшествовала серия работ, посвященных вычислению отдельных членов данной серии [3–8].

В работе представлено относительно простое доказательство зигзаг-гипотезы, основанное на операторном формализме [9, 10], методах конформной теории поля [11] и методах вычисления диаграмм в теориях типа «fishnet» [12–15].

Диаграммы зигзаг-серии, как и диаграммы типа «fishnet», построены из повторяющихся блоков. Повторяющийся блок естественно интерпретировать как интегральное ядро оператора, получившего название «graph-building operator». Такая операторная интерпретация позволяет переформулировать задачу о вычислении диаграммы как задачу о диагонализации «graph-building» оператора: нахождение полной системы собственных функций и соответствующих собственных значений. В предлагаемой работе система собственных функций построена для диаграмм зигзаг-серии, что позволяет получить точные выражения для соответствующих четырехточечных и двухточечных функций. «Graph-building» оператор, связанный с диаграммами зигзаг-серии, обладает свойством конформной инвариантности, так что его собственные функции оказываются частным случаем трехточечной корреляционной функции конформной теории поля — конформными треугольниками.

1. ОПЕРАТОРНЫЙ ФОРМАЛИЗМ

Рассмотрим D-мерное евклидово пространство \mathbb{R}^D с координатами x^μ ($\mu=1,\ldots,D$) и будем обозначать $(x)^{2\alpha}\equiv \left(x^2\right)^\alpha=\left(\sum_\mu x^\mu\,x^\mu\right)^\alpha$. Пусть $\{\hat{q}_a^\mu,\ \hat{p}_b^\nu\}$ $(a,b=1,\ldots,n)$ — эрмитовы генераторы алгебры $\mathcal{H}^{(n)}=\sum_{a=1}^n\mathcal{H}_a$, состоящей из n копий D-мерной алгебры Гейзенберга \mathcal{H}_a , такие что

$$[\hat{q}_a^{\mu}, \, \hat{p}_b^{\nu}] = i \, \delta^{\mu\nu} \, \delta_{ab}. \tag{3}$$

Введем состояния $|x_a\rangle$ и $|k_a\rangle$, являющиеся собственными для генераторов \hat{q}^μ_a и \hat{p}^ν_a подалгебры $\mathcal{H}_a\subset\mathcal{H}^{(n)}$:

$$\hat{q}_a^{\mu}|x_a\rangle = x_a^{\mu}|x_a\rangle, \quad \hat{p}_a^{\mu}|k_a\rangle = k_a^{\mu}|k_a\rangle \tag{4}$$

и составляющие базис пространства V_a , на котором действует алгебра \mathcal{H}_a . Алгебра $\mathcal{H}^{(n)}$ действует в пространстве $V_1 \otimes \cdots \otimes V_n$, базисными элементами которого являются $|x_1,\ldots,x_n\rangle := |x_1\rangle \otimes \cdots \otimes |x_n\rangle$. Введем дуальные состояния $\langle x_a|$ и $\langle k_a|$ такие, что верны соотношения ортогональности и полноты

$$\langle x_a | x_a' \rangle = \delta^D(x_a - x_a'), \quad \langle k_a | k_a' \rangle = \delta^D(k_a - k_a'),$$

$$\int d^D x_a | x_a \rangle \langle x_a | = I_a = \int d^D k_a | k_a \rangle \langle k_a |,$$
(5)

где I_a — единичный оператор на V_a . Соотношения (3), (4), (5) согласованы, если

$$k_a^{\mu}\langle x_a|k_a\rangle = \langle x_a|\hat{p}_a^{\mu}|k_a\rangle = -i\frac{\partial}{\partial x_a^{\mu}}\langle x_a|k_a\rangle \implies \langle x_a|k_a\rangle = \frac{1}{(2\pi)^{D/2}}e^{ik_a^{\mu}x_a^{\mu}},$$

где не подразумевается суммирование по повторяющимся индексам a, а нормировочная константа $(2\pi)^{-D/2}$ зафиксирована соотношением (5). Дальше нам понадобятся операторы $(\hat{q}_a)^{-2\alpha} = \left(\sum_{\mu} \hat{q}_a^{\mu} \ \hat{q}_a^{\mu}\right)^{-\alpha}$ и $(\hat{p}_a)^{-2\beta} = \left(\sum_{\mu} \hat{p}_a^{\mu} \ \hat{p}_a^{\mu}\right)^{-\beta}$ такие, что α и β не обязательно являются целыми числами. Эти операторы можно определить как интегральные операторы, задаваемые интегральными ядрами $\langle x|\ (\hat{q})^{-2\alpha}\ |y\rangle = (x)^{-2\alpha} \delta^D(x-y)$ и

$$\langle x|\frac{1}{(\hat{p})^{2\beta}}|y\rangle = \int d^D k \langle x|\frac{1}{(\hat{p})^{2\beta}}|k\rangle \langle k|y\rangle = \int \frac{d^D k}{(2\pi)^D} \frac{e^{ik(x-y)}}{(k)^{2\beta}} = \frac{a(\beta)}{(x-y)^{2\beta'}},$$

$$a(\beta) := \frac{1}{2^{2\beta}\pi^{D/2}} \frac{\Gamma(\beta')}{\Gamma(\beta)}, \quad \beta' := D/2 - \beta.$$
(6)

Рассмотрим алгебру $\mathcal{H}^{(2)} = \mathcal{H}_1 + \mathcal{H}_2$ и введем оператор

$$\hat{Q}_{12}^{(\beta)} := \frac{1}{a(\beta)} \, \mathcal{P}_{12} \, (\hat{p}_1)^{-2\beta} \, (\hat{q}_{12})^{-2\beta}, \tag{7}$$

где $\hat{q}_{12}^{\mu}=\hat{q}_{1}^{\mu}-\hat{q}_{2}^{\mu}$, а \mathcal{P}_{12} — оператор перестановки, действующий по правилу

$$\mathcal{P}_{12}\,\hat{q}_1 = \hat{q}_2\,\mathcal{P}_{12}, \quad \mathcal{P}_{12}\,\hat{p}_1 = \hat{p}_2\,\mathcal{P}_{12}, \quad \mathcal{P}_{12}|x_1,x_2\rangle = |x_2,x_1\rangle, \quad (\mathcal{P}_{12})^2 = I.$$
 (8)

Мы будем использовать следующее графическое представление для интегрального ядра оператора (7):

$$\begin{array}{ll}
x_{1} \cdot \cdot \cdot \cdot \cdot \cdot \begin{vmatrix} y_{1} & x_{1} \cdot \cdot \cdot \cdot \cdot \\ \beta & = \\ y_{2} & x_{2} & \beta \end{vmatrix} = \langle x_{1}, x_{2} | \hat{Q}_{12}^{(\beta)} | y_{1}, y_{2} \rangle = \\
&= \frac{1}{a(\beta)} \langle x_{1}, x_{2} | \mathcal{P}_{12} (\hat{p}_{1})^{-2\beta} (\hat{q}_{12})^{-2\beta} | y_{1}, y_{2} \rangle = \frac{1}{(x_{2} - y_{1})^{2\beta'} (y_{1} - y_{2})^{2\beta}} \delta^{D}(x_{1} - y_{2}),
\end{array}$$

где

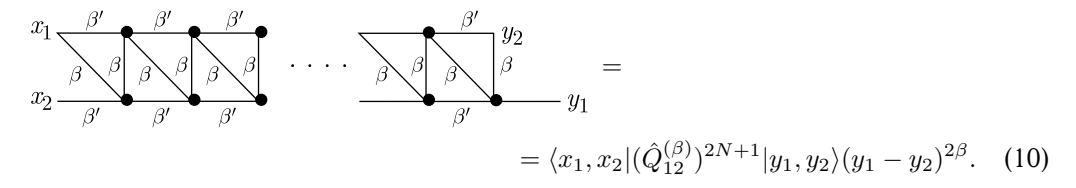
$$x_1 \dots x_2 = \delta^D(x_1 - x_2), \qquad x_1 \dots x_2 = (x_1 - x_2)^{-2\beta}.$$

Заметим, что $Q_{12}^{(\beta)}$ является «graph-building» оператором для зигзаг-диаграмм: в случае четного числа петель многократное применение оператора $Q_{12}^{(\beta)}$ приводи:

в случае четного числа петель многократное применение оператора $Q_{12}^{(\beta)}$ приводит к диаграмме

$$x_{1} \xrightarrow{\beta'} \xrightarrow{\beta'} \xrightarrow{\beta'} \xrightarrow{\beta'} \xrightarrow{\beta'} \xrightarrow{\beta'} x_{2} \xrightarrow{\beta'} x_{2} \xrightarrow{\beta'} y_{2} = \langle x_{1}, x_{2} | (\hat{Q}_{12}^{(\beta)})^{2N} | y_{1}, y_{2} \rangle (y_{1} - y_{2})^{2\beta},$$
 (9)

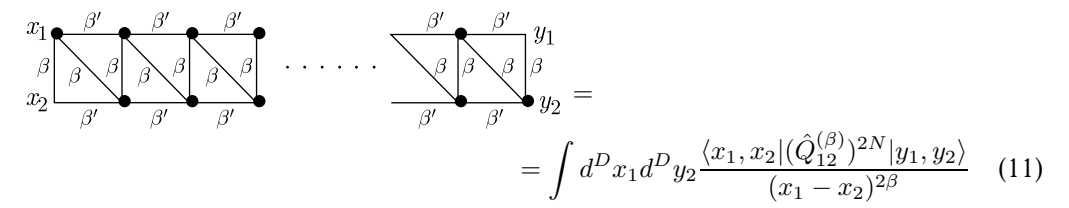
в случае нечетного числа петель многократное применение оператора $Q_{12}^{(eta)}$ приводит к диаграмме



C помощью жирной точки мы изображаем интегрирование по всему пространству $\mathbb{R}^D.$ Отметим, что выражения (9), (10) могут быть интерпретированы как фейнмановские диаграммы для четырехточечной корреляционной функции D-мерной «fishnet» теории [11], а в случае D=4 и $\beta=1$ как фейнмановские диаграммы для функции Грина скалярной теории поля с взаимодействием ϕ^4 .

Таким же образом, добавив необходимые пропагаторы и проинтегрировав по двум вершинам, с помощью оператора $Q_{12}^{(eta)}$ можно построить двухточечную зигзаг-диаграмму:

для четного числа петель



и для нечетного

$$x_{1} \xrightarrow{\beta'} \xrightarrow{\beta'} \xrightarrow{\beta'} \xrightarrow{\beta'} \xrightarrow{\beta'} \cdots \xrightarrow{\beta'} \xrightarrow{\beta'} y_{2}$$

$$x_{2} \xrightarrow{\beta'} \xrightarrow{\beta'} \xrightarrow{\beta'} \xrightarrow{\beta'} y_{2}$$

$$= \int d^{D}x_{1} d^{D}y_{2} \frac{\langle x_{1}, x_{2} | (\hat{Q}_{12}^{(\beta)})^{2N+1} | y_{1}, y_{2} \rangle}{(x_{1} - x_{2})^{2\beta}}. \quad (12)$$

Теперь остается воспользоваться операторными представлениями (9)-(12) для точного вычисления упомянутых серий двухточечных и четырехточечных диаграмм.

2. СИСТЕМА СОБСТВЕННЫХ ФУНКЦИЙ ОПЕРАТОРА \hat{Q}_{12} . ОРТОГОНАЛЬНОСТЬ И ПОЛНОТА

Для нахождения собственных функций оператора (7) рассмотрим трехточечную корреляционную функцию полей $\mathcal{O}_{\Delta_1},\;\mathcal{O}_{\Delta_2}$ и $\mathcal{O}_{\Delta}^{\mu_1\cdots\mu_n}$ в конформной теории поля. Скалярные поля \mathcal{O}_{Δ_1} и \mathcal{O}_{Δ_2} имеют конформные размерности Δ_1 и Δ_2 , а тензорное поле $\mathcal{O}_{\Lambda}^{\mu_1\cdots\mu_n}$ имеет конформную размерность Δ . Для коррелятора трех таких полей ответ известен с точностью до нормировки

$$u^{\mu_1} \cdots u^{\mu_n} \langle \mathcal{O}_{\Delta_1}(y_1) \mathcal{O}_{\Delta_2}(y_2) \mathcal{O}_{\Delta}^{\mu_1 \cdots \mu_n}(y) \rangle = \frac{\left(\frac{(u, y - y_1)}{(y - y_1)^2} - \frac{(u, y - y_2)}{(y - y_2)^2}\right)^n}{(y_1 - y_2)^{2A}(y - y_1)^{2A_1}(y - y_2)^{2A_2}}, \quad (13)$$

где

$$A = \frac{1}{2}(\Delta_1 + \Delta_2 - \Delta + n), \quad A_1 = \frac{1}{2}(\Delta_1 + \Delta - \Delta_2 - n), \quad A_2 = \frac{1}{2}(\Delta_2 + \Delta - \Delta_1 - n).$$

Для того чтобы избежать громоздких формул с тензорными значками, мы используем свертку с вспомогательным комплексным вектором $u\in\mathbb{C}^D$, таким что (u,u)= $u^{\mu}u^{\mu}=0$. Нам нужен частный случай трехточечного коррелятора (13), когда параметры A,A_1,A_2 связаны следующим образом ($\alpha\in\mathbb{C},\ \beta\in\mathbb{R}$):

$$A = \alpha, \quad A_1 = \alpha' := \frac{D}{2} - \alpha, \quad A_2 = (\alpha + \beta)' = \frac{D}{2} - (\alpha + \beta) \Rightarrow$$

$$\Delta_1 = \frac{D}{2}, \quad \Delta_2 = \frac{D}{2} - \beta, \quad \Delta = D - 2\alpha - \beta + n.$$
(14)

Выбрав данную параметризацию, мы определим функцию

$$\langle y_1, y_2 | \Psi_{\alpha,\beta}^{(n,u)}(y) \rangle := \frac{\left(\frac{(u, y - y_1)}{(y - y_1)^2} - \frac{(u, y - y_2)}{(y - y_2)^2}\right)^n}{(y_1 - y_2)^{2\alpha} (y - y_1)^{2\alpha'} (y - y_2)^{2(\alpha + \beta)'}}, \tag{15}$$

которую, следуя статье [16], будем называть конформным треугольником. Вектор $|\Psi^{(n,u)}_{\alpha,\beta}(y)\rangle=u^{\mu_1}\cdots u^{\mu_n}|\Psi^{\mu_1\cdots\mu_n}_{\alpha,\beta}(y)\rangle$, определенный в (15), является собственным для оператора (7):

$$\hat{Q}_{12}^{(\beta)} |\Psi_{\alpha,\beta}^{(n,u)}(y)\rangle = \tau(\alpha,\beta,n) |\Psi_{\alpha,\beta}^{(n,u)}(y)\rangle, \tag{16}$$

с собственным числом

$$\tau(\alpha, \beta, n) = (-1)^n \frac{\pi^{D/2} \Gamma(\beta) \Gamma(\alpha) \Gamma((\alpha + \beta)' + n)}{\Gamma(\beta') \Gamma(\alpha' + n) \Gamma(\alpha + \beta)}.$$
 (17)

Отметим, что по отношению к стандартному эрмитову скалярному произведению

$$\langle \Psi | \Phi \rangle = \int d^D x_1 \, d^D x_2 \, \langle \Psi | x_1, x_2 \rangle \langle x_1, x_2 | \Phi \rangle = \int d^D x_1 d^D x_2 \, \Psi^*(x_1, x_2) \, \Phi(x_1, x_2) \quad (18)$$

оператор (7) с $\beta \in \mathbb{R}$ является эрмитовым только с точностью до преобразования подобия:

$$(\hat{Q}_{12}^{(\beta)})^{\dagger} = \frac{1}{a(\beta)} (\hat{q}_{12})^{-2\beta} (\hat{p}_{1})^{-2\beta} \mathcal{P}_{12} = U \, \hat{Q}_{12}^{(\beta)} U^{-1},$$

$$U := \mathcal{P}_{12} (\hat{q}_{12})^{-2\beta} = (\hat{q}_{12})^{-2\beta} \mathcal{P}_{12}.$$
(19)

Таким образом, вместо скалярного произведения (18) естественно использовать новое скалярное произведение

$$\langle \overline{\Psi} | \Phi \rangle := \langle \Psi | U | \Phi \rangle = \int d^D x_1 d^D x_2 \frac{\Psi^*(x_2, x_1) \Phi(x_1, x_2)}{(x_1 - x_2)^{2\beta}}$$

$$(\beta \equiv D - \Delta_1 - \Delta_2),$$
(20)

по отношению к которому оператор (7) будет эрмитовым. В формуле (20) мы определили сопряжение для вектора

$$\langle \overline{\Psi} | := \langle \Psi | U = \langle \Psi | (\hat{q}_{12})^{-2\beta} \mathcal{P}_{12}, \tag{21}$$

где оператор U в (19) играет роль метрики в пространстве $V_1 \otimes V_2$.

Нетрудно проверить, что «graph-building» оператор (7) коммутирует с оператором

$$\hat{D} = \frac{i}{2} \sum_{a=1}^{2} (\hat{q}_a \hat{p}_a + \hat{p}_a \hat{q}_a) + \frac{1}{2} (y^{\mu} \partial_{y^{\mu}} + \partial_{y^{\mu}} y^{\mu}) - \beta, \tag{22}$$

который действует на собственные функции $|\Psi^{(n,u)}_{lpha,eta}(y)
angle$ следующим образом:

$$\hat{\mathsf{D}} \mid \Psi_{\alpha,\beta}^{(n,u)}(y) \rangle = \left(2\alpha + \beta - \frac{1}{2}D - n \right) \mid \Psi_{\alpha,\beta}^{(n,u)}(y) \rangle. \tag{23}$$

Для вещественного параметра $\beta \in \mathbb{R}$ получаем, что $\hat{\mathsf{D}}^\dagger = -U\,\hat{\mathsf{D}}\,U^{-1}$. Таким образом, оператор $\hat{\mathsf{D}}$ антиэрмитов по отношению к скалярному произведению (20). Соответствующее условие на его собственные числа приводит к следующей общей параметризации параметра α :

$$2(\alpha^* + \alpha) = 2n + D - 2\beta \implies \alpha = \frac{1}{2}(n + D/2 - \beta) - i\nu, \quad \nu \in \mathbb{R}.$$
 (24)

Используя введенную параметризацию, получаем следующее выражение для собственного числа (17):

$$\tau(\alpha, \beta, n) = (-1)^n \frac{\pi^{D/2} \Gamma(\beta) \Gamma\left(\frac{D}{4} + \frac{n}{2} - \frac{\beta}{2} + i\nu\right)}{\Gamma(\beta') \Gamma\left(\frac{D}{4} + \frac{n}{2} + \frac{\beta}{2} + i\nu\right)} \frac{\Gamma\left(\frac{D}{4} + \frac{n}{2} - \frac{\beta}{2} - i\nu\right)}{\Gamma\left(\frac{D}{4} + \frac{n}{2} + \frac{\beta}{2} - i\nu\right)}$$
(25)

и параметра $\Delta = D/2 + 2i\nu$. В качестве параметра собственной функции удобнее использовать ν вместо α , так что мы введем следующее, альтернативное, обозначение для собственной функции (15)

$$|\Psi_{\nu,\beta,y}^{(n,u)}\rangle := |\Psi_{\alpha,\beta}^{(n,u)}(y)\rangle = u^{\mu_1} \cdots u^{\mu_n} |\Psi_{\alpha,\beta}^{\mu_1 \cdots \mu_n}(y)\rangle, \Psi_{\nu,\beta,y}^{(n,u)}(x_1, x_2) := \langle x_1, x_2 | \Psi_{\nu,\beta,y}^{(n,u)}\rangle.$$
(26)

Так как собственное число (25) вещественно (инвариантно относительно замены $\nu \to -\nu$), две собственные функции $|\Psi^{(n,u)}_{\nu,\beta,x}\rangle$ и $|\Psi^{(m,v)}_{\lambda,\beta,y}\rangle$, отвечающие разным собственным числам (25) (т. е. $n \neq m$ и $\lambda \neq \pm \nu$), должны быть ортогональны друг другу относительно скалярного произведения (20).

Справедливо следующее соотношение ортогональности для двух конформных треугольников (см. [11,17–19]):

$$\langle \overline{\Psi_{\lambda,\beta,y}^{(m,v)}} | \Psi_{\nu,\beta,x}^{(n,u)} \rangle = \int d^{D}x_{1} d^{D}x_{2} \langle \Psi_{\lambda,\beta,y}^{(m,v)} | U | x_{1}x_{2} \rangle \langle x_{1}x_{2} | \Psi_{\nu,\beta,x}^{(n,u)} \rangle =
= \int d^{D}x_{1} d^{D}x_{2} \frac{(\Psi_{\lambda,\beta,y}^{(m,v)}(x_{2},x_{1}))^{*} \Psi_{\nu,\beta,x}^{(n,u)}(x_{1},x_{2})}{(x_{1}-x_{2})^{2(D-\Delta_{1}-\Delta_{2})}} =
= C_{1}(n,\nu) \delta_{nm} \delta(\nu-\lambda) \delta^{D}(x-y) (u,v)^{n} + C_{2}(n,\nu) \delta_{nm} \delta(\nu+\lambda) \times
\times \frac{\left((u,v) - 2\frac{(u,x-y)(v,x-y)}{(x-y)^{2}}\right)^{n}}{(x-y)^{2(D/2+2i\nu)}}, (27)$$

где
$$(u,v) = u^{\mu}v^{\mu}$$
, $\beta = D - \Delta_1 - \Delta_2 = \Delta_1 - \Delta_2$, а

$$C_{1}(n,\nu) = \frac{(-1)^{n} 2^{1-n} \pi^{3D/2+1} n!}{\Gamma\left(\frac{D}{2} + n\right) \left(\left(\frac{D}{2} + n - 1\right)^{2} + 4\nu^{2}\right)} \frac{\Gamma(2i\nu) \Gamma(-2i\nu)}{\Gamma\left(\frac{D}{2} + 2i\nu - 1\right) \Gamma\left(\frac{D}{2} - 2i\nu - 1\right)}.$$
(28)

Отметим, что коэффициент C_1 не зависит от β и играет роль обратной величины к мере Планшереля, используемой в соотношении полноты. В отличие от C_1 , коэффициент C_2 в (27) зависит от β , но он не входит в соотношение полноты, так что явное выражение для него нам не понадобится. Соотношение полноты для набора собственных функций (26) имеет следующий вид (см. [11,17–19]):

$$I = \sum_{n=0}^{\infty} \int_{0}^{\infty} \frac{d\nu}{C_{1}(n,\nu)} \int d^{D}x |\Psi_{\nu,\beta,x}^{\mu_{1}\cdots\mu_{n}}\rangle \langle \overline{\Psi_{\nu,\beta,x}^{\mu_{1}\cdots\mu_{n}}}| =$$

$$= \sum_{n=0}^{\infty} \int_{0}^{\infty} \frac{d\nu}{C_{1}(n,\nu)} \int d^{D}x |\Psi_{\nu,\beta,x}^{\mu_{1}\cdots\mu_{n}}\rangle \langle \Psi_{\nu,\beta,x}^{\mu_{1}\cdots\mu_{n}}|U. \quad (29)$$

3. ВЫЧИСЛЕНИЕ ДВУХТОЧЕЧНОЙ И ЧЕТЫРЕХТОЧЕЧНОЙ ФУНКЦИЙ ДЛЯ ЗИГЗАГ-ДИАГРАММ

Используя ортогональность и полноту системы собственных функций, нетрудно вывести удобные представления для двухточечной и четырехточечной корреляционных функций. Используя разложение единицы (29) в выражениях (9), (10) для четырехточечной корреляционной функции, получаем

$$G_{4}^{(M)}(x_{1}, x_{2}; y_{1}, y_{2}) = \langle x_{1}, x_{2} | (\hat{Q}_{12}^{(\beta)})^{M} | y_{1}, y_{2} \rangle (y_{1} - y_{2})^{2\beta} =$$

$$= \sum_{n=0}^{\infty} \int_{0}^{\infty} \frac{d\nu}{C_{1}(n, \nu)} \int d^{D}x \, \langle x_{1}, x_{2} | (\hat{Q}_{12}^{(\beta)})^{M} | \Psi_{\nu, \beta, x}^{\mu_{1} \cdots \mu_{n}} \rangle \langle \Psi_{\nu, \beta, x}^{\mu_{1} \cdots \mu_{n}} | U | y_{1}, y_{2} \rangle (y_{1} - y_{2})^{2\beta} =$$

$$= \sum_{n=0}^{\infty} \int_{0}^{\infty} d\nu \, \frac{(\tau(\alpha, \beta, n))^{M}}{C_{1}(n, \nu)} \int d^{D}x \, \langle x_{1}, x_{2} | \Psi_{\nu, \beta, x}^{\mu_{1} \cdots \mu_{n}} \rangle \langle \Psi_{\nu, \beta, x}^{\mu_{1} \cdots \mu_{n}} | y_{2}, y_{1} \rangle. \tag{30}$$

Интеграл по x в правой части уравнения (30) может быть вычислен в терминах конформных блоков [19–21] (в четырехмерном случае этот интеграл детально рассмотрен в [11]).

Используя выражение для четырехточечной функции $G_4^{(M)}(x_1,x_2;y_1,y_2)$, полученное в (30), можно вывести выражение для двухточечной функции $G_2^{(M)}(x_2,y_1)$

(диаграммы для этих функций представлены в <math>(9)-(12)):

$$G_{2}^{(M)}(x_{2}, y_{1}) = \sum_{n=0}^{\infty} \int_{0}^{\infty} d\nu \frac{(\tau(\alpha, \beta, n))^{M}}{C_{1}(n, \nu)} \times \int d^{D}x_{1} d^{D}y_{2} d^{D}x \frac{\langle x_{1}, x_{2} | \Psi_{\nu, \beta, x}^{\mu_{1} \cdots \mu_{n}} \rangle \langle \Psi_{\nu, \beta, x}^{\mu_{1} \cdots \mu_{n}} | y_{2}, y_{1} \rangle}{(x_{1} - x_{2})^{2\beta} (y_{1} - y_{2})^{2\beta}} = \frac{1}{(x_{2} - y_{1})^{2\beta}} \frac{\Gamma(D/2 - 1)}{\Gamma(D - 2)} \sum_{n=0}^{\infty} \frac{(-1)^{n} \Gamma(n + D - 2)}{2^{n} \Gamma(n + D/2 - 1)} \int_{0}^{\infty} d\nu \frac{\tau^{M+3}(\alpha, \beta, n)}{C_{1}(n, \nu)}.$$
 (31)

При выводе последнего выражения мы использовали следующий интеграл, который может быть вычислен в замкнутом виде:

$$\int d^{D}x_{1}d^{D}y_{2} d^{D}x \frac{\langle x_{1}, x_{2}|\Psi_{\nu,\beta,x}^{\mu_{1}\cdots\mu_{n}}\rangle\langle\Psi_{\nu,\beta,x}^{\mu_{1}\cdots\mu_{n}}|y_{2}, y_{1}\rangle}{(x_{1}-x_{2})^{2\beta}(y_{1}-y_{2})^{2\beta}} =
= \frac{(-1)^{n}\Gamma(n+D-2)\Gamma(D/2-1)}{2^{n}\Gamma(n+D/2-1)\Gamma(D-2)} \frac{\tau^{3}(\alpha,\beta,n)}{(x_{2}-y_{1})^{2\beta}}.$$
(32)

Рассмотрим частный случай $\beta=1$ и D=4, так что $\alpha=(n+1)/2-i\nu$ и ответ для интеграла (32) упрощается:

$$\int d^4x_1 d^4y_2 d^4x \frac{\langle x_1, x_2 | \Psi_{\nu, x}^{\mu_1 \dots \mu_n} \rangle \langle \Psi_{\nu, x}^{\mu_1 \dots \mu_n} | y_2, y_1 \rangle}{(x_1 - x_2)^2 (y_1 - y_2)^2} = (-1)^n \frac{(n+1)}{2^n} \tau^3(\nu, n) \frac{1}{(x_2 - y_1)^2},$$
(33)

где $\langle x_1, x_2 | \Psi^{\mu_1 \cdots \mu_n}_{\nu, x} \rangle := \Psi^{\mu_1 \cdots \mu_n}_{\nu, \beta, x}(x_1, x_2) |_{D=4, \beta=1}$ и (см. (25))

$$\tau(\nu, n) := \tau(\alpha, \beta, n)|_{D=4, \beta=1} = \frac{(-1)^n (2\pi)^2}{(1+n)^2 + 4\nu^2}.$$
 (34)

Коэффициент C_1 в выражении (28) для D=4 также упрощается:

$$C_1(n,\nu) = \frac{\pi^5}{2^{n+3}(1+n)\nu^2} \tau(\nu,n), \tag{35}$$

так что, подставляя (33)-(35) в (31), получаем

$$G_2^{(M)}(x_2, y_1)|_{D=4,\beta=1} = \frac{(2\pi)^{2(M+2)}}{(x_2 - y_1)^2} \frac{2^3}{\pi^5} \sum_{n=0}^{\infty} (-1)^{n(M+1)} (n+1)^2 \int_0^{\infty} d\nu \frac{\nu^2}{((1+n)^2 + 4\nu^2)^{M+2}} = \frac{4\pi^{2M}}{(x_2 - y_1)^2} C_M \sum_{n=0}^{\infty} (-1)^{n(M+1)} \frac{1}{(n+1)^{2M-1}},$$
(36)

где $C_M=(1/(M+1))\binom{2M}{M}$ — число Каталана. В последнем равенстве (36) мы использовали интеграл

$$\int_{0}^{+\infty} d\nu \, \frac{\nu^2}{\left(4\nu^2 + (1+n)^2\right)^{M+2}} = \frac{1}{2^5(n+1)^{2M+1}} \, \frac{\Gamma\left(\frac{1}{2}\right)\Gamma\left(M + \frac{1}{2}\right)}{\Gamma\left(M+2\right)} \tag{37}$$

и тождество

$$\frac{\Gamma\left(M+\frac{1}{2}\right)\Gamma\left(\frac{1}{2}\right)}{\Gamma(M+2)} = \frac{(2M)! \ \pi}{2^{2M}M!(M+1)!}.$$

Выражение (36) эквивалентно (1), (2). Таким образом, мы воспроизвели результат, предсказанный Бродхарстом и Краймером [1].

В заключение отметим, что в статье [1] мера интегрирования в импульсном пространстве зафиксирована как $(d^4k)/\pi^2$. Таким образом, для расчета M-петлевой диаграммы нам необходимо разделить ответ на $(\pi^2)^M$, что оправдывает выбор нормировочной константы в выражении (2).

ЗАКЛЮЧЕНИЕ

В данной работе показано, что современные методы изучения конформных теорий поля в произвольной размерности могут быть использованы для аналитических вычислений безмассовых фейнмановских диаграмм. Мы считаем, что рассмотренный метод является универсальным для вычисления диаграмм, которые могут быть представлены в виде матричного элемента некоторой степени «graph-building» оператора. В частности, он может быть использован для вычисления корреляционных функций и критических показателей различных конформных теорий поля. Также интересным вопросом остается возможность применения D-мерных результатов для расчета четырехточечных функций (с фермионами), которые возникают в обобщенной «fishnet» модели при двойном скейлинговом пределе γ -деформированной N=4 суперсимметричной теории Янга-Миллса.

Работа поддержана грантом Фонда развития теоретической физики и математики «Базис». Также работа Л. А. Шумилова поддержана Министерством науки и высшего образования Российской Федерации (грант № 075-15-2022-289).

СПИСОК ЛИТЕРАТУРЫ

- 1. Broadhurst D.J., Kreimer D. Knots and Numbers in φ^4 Theory to 7 Loops and Beyond // Intern. J. Mod. Phys. C. 1995. V.6. P.519–524.
- 2. Brown F., Schnetz O. Single-Valued Multiple Polylogarithms and a Proof of the Zig-Zag Conjecture // J. Number Theor. 2015 V. 148. P. 478–506.
- 3. Chetyrkin K. G., Kataev A. L., Tkachov F. V. New Approach to Evaluation of Multiloop Feynman Integrals: The Gegenbauer Polynomial x-Space Technique// Nucl. Phys. B. 1980. V. 174. P. 345–377.

- 4. Chetyrkin K. G., Tkachov F. V. Integration by Parts: The Algorithm to Calculate Beta Functions in 4 Loops // Nucl. Phys. B. 1981. V. 192. P. 159-204.
- 5. Kazakov D. I. The Method of Uniqueness, a New Powerful Technique for Multiloop Calculation // Phys. Lett. B. 1983. V. 133. P. 406-410.
- 6. Kazakov D.I. Multiloop Calculations: Method of Uniqueness and Functional Equations // Theor. Math. Phys. 1985. V. 62, No. 1. P. 84-89.
- 7. Broadhurst D.J. Massless Scalar Feynman Diagrams: Five Loops and Beyond. Report of the Open Univ. Milton Keynes, UK, 1985. OUT-4102-18.
- 8. Ussyukina N. I. Calculation of Multiloop Diagrams in High Orders of Perturbation Theory // Phys. Lett. B. 1991. V. 267, No. 3. P. 382-388.
- 9. Isaev A.P. Multiloop Feynman Integrals and Conformal Quantum Mechanics // Nucl. Phys. B. 2003. V. 662. P. 461-475.
- 10. Isaev A.P. Operator Approach to Analytical Evaluation of Feynman Diagrams // Phys. At. Nucl. 2008. V. 71. P. 914-924.
- 11. Gromov N., Kazakov V., Korchemsky G. Exact Correlation Functions in Conformal Fishnet Theory // JHEP. 2019. V. 08. P. 123.
- 12. Derkachov S., Olivucci E. Exactly Solvable Magnet of Conformal Spins in Four Dimensions // Phys. Rev. Lett. 2020. V. 125, No. 3. P. 031603.
- 13. Derkachov S., Olivucci E. Exactly Solvable Single-Trace Four Point Correlators in χCFT₄ // JHEP. 2021. V. 02. P. 146.
- 14. Derkachov S., Kazakov V., Olivucci E. Basso-Dixon Correlators in Two-Dimensional Fishnet CFT // JHEP. 2019. V. 04. P. 032.
- 15. Derkachov S., Ferrando G., Olivucci E. Mirror Channel Eigenvectors of the d-Dimensional Fishnets // JHEP. 2021. V. 12. P. 174.
- 16. Vasiliev A. N., Pismak Y. M., Khonkonen Y. R. 1/N Expansion: Calculation of the Exponent Eta in the Order $1/N^3$ by the Conformal Bootstrap Method // Theor. Math. Phys. 1982. V. 50. P. 127-134.
- 17. Dobrev V. K., Mack G., Petkova V. B., Petrova S. G., Todorov I. T. Harmonic Analysis on the n-Dimensional Lorentz Group and Its Application to Conformal Quantum Field Theory // Lect. Notes Phys. 1977. V. 63.
- 18. Todorov I. T., Mintchev M. C., Petkova V. B. Conformal Invariance in Quantum Field Theory. Pisa: Sc. Norm. Sup., 1978.
- 19. Dobrev V. K., Petkova V. B., Petrova S. G., Todorov I. T. Dynamical Derivation of Vacuum Operator Product Expansion in Euclidean Conformal Quantum Field Theory // Phys. Rev. D. 1976. V. 13. P. 887.
- 20. Dolan F.A., Osborn H. Conformal Four Point Functions and the Operator Product Expansion // Nucl. Phys. B. 2001. V. 599. P. 459-496.
- 21. Dolan F. A., Osborn H. Conformal Partial Waves and the Operator Product Expansion // Nucl. Phys. B. 2004. V. 678. P. 491-507.

Получено 27 октября 2022 г.